

論 文

UDC 669.14-122.2 : 669.111.31 : 620.186.1 : 620.187

ひずみを受けたセメンタイトの電子回折*

井 上 明 久**・小 倉 次 夫***
 増 本 健***・今井勇之進****

Electron Diffraction on Strained Cementite in Steels

Akihisa INOUE, Tsugio OGURA,
 Tsuyoshi MASUMOTO, and Yunoshin IMAI

Synopsis:

In order to investigate the mutual relation between strained cementite and χ -carbide, observations by transmission electron microscopy were made on internal defect structures and crystallographic natures of cementite in cold-rolled high carbon steels containing 0.86% and 1.25% carbon. Thermomagnetic and X-ray diffraction measurements were also made for comparison's sake. The main results obtained are summarized as follows;

- 1) The strained cementite in cold-rolled high carbon steels contains dislocation and the other defect structures of various types. The cementite which was suffered an extremely heavy straining has also fine strain markings and moiré fringes of nearly 100 Å in spacing.
- 2) The electron diffraction pattern of strained cementite generally distorts as compared with that of cementite free from strain. The distorted electron diffraction pattern is, however, never agreeable with that of monoclinic χ -carbide, showing that the strained cementite is not identified with χ -carbide.
- 3) Internal defect structures, the distortion of electron diffraction pattern, and the tangential spread of diffraction spot disappear by the annealing for 5 hr at 700°C.
- 4) Raise in the curie point of cementite with the degree of cold-rolling is detected by the present thermomagnetic measurements. The result of X-ray diffraction of cementites in the cold-rolled steels shows peak shift, lowering of peak height, and broadening of diffraction line. Any peak from χ -carbide is not detected. These results are consistent with the above electron microscopic observations.
- 5) The strained cementite showing the distorted electron diffraction pattern is also observed in the tempered high carbon steels.

From these experimental results, it is suggested that the strained cementite suffering some constraints from ferrite matrix in tempered steels is not regarded as χ -carbide.

1. 緒 言

炭素鋼の焼戻し過程に χ -炭化物が存在するか否かについて、多くの研究者により古くから議論されており、最近、メスバウラー効果の測定¹⁾²⁾や電子顕微鏡観察^{3)~5)}によつてその存在が強く示唆された。しかし、焼戻し初期のセメンタイトは、母相から強い整合ひずみを受けると考えられ、このため見掛け上 χ -炭化物のよう

に観察されるとする考えがある⁶⁾。すなわち、WILSON⁷⁾⁸⁾は、圧延した鋼中セメンタイトのキューリー点は圧延度とともに上昇し、約 90% の圧延度で χ -炭化物のキューリー点とほぼ等しい約 250°C になると報告した。この実験結果は χ -炭化物の存在を否定する有力証拠として引用されて来た。また、西山⁹⁾によれば、セメンタイトの (001) _{θ} 面に積層欠陥を導入すると局部的に χ 炭化物と同一結晶構造が得られる。したがつて、焼戻し初

* 昭和 47 年 4 月本会講演大会にて発表 昭和 49 年 4 月 16 日受付 (Received April 16, 1974)

** 東北大学大学院 (Tohoku University)

*** 東北大学金属材料研究所 工博 (The Research Institute for Iron, Steel and Other Metals, Tohoku University 980)

**** 東北大学 工博 (Tohoku University, 1-1, 2chome Katahira Sendai 980)

Table 1. Chemical composition of specimens (wt %).

Specimen	C	Si	Mn	Ni	Cr	Al	P	S	Fe
No 1	0.48	0.007	0.001	0.005	0.004	0.008	0.005	0.004	Bal.
No 2	0.86	0.015	<0.001	0.005	0.010	—	0.004	0.004	Bal.
No 3	1.25	0.024	0.001	0.001	0.003	0.098	0.004	0.004	Bal.

期のセメンタイトには母相からの拘束により多くの欠陥が導入されており、このような初期セメンタイトが χ 炭化物と類似の結晶構造を持ち、類似の性質を示している可能性も考えられる。一方、DEYCH および APAYEV¹⁰⁾ の磁気分析結果によれば、冷間加工した炭素鋼中には χ 炭化物と同じ組成およびキューリー点を示す炭化物が存在するが、これは欠陥を含んだセメンタイトとは異なる相であるとされている。

以上の様に、炭素鋼の焼戻し過程で観察される χ 炭化物がセメンタイトと異なる別個の相であるか否かについては、なお確定的な結論に達していない。この点を明確にするためには、ひずみを受けたセメンタイトについてさらに詳細な観察、測定を行ない、これと χ 炭化物との関係について検討を加える必要がある。本研究は、この目的のために行なつたもので、圧延ひずみを受けた炭素鋼中セメンタイトの性質を主として電子顕微鏡によって観察しようとするものである。

2. 試料および実験方法

用いた試料は電解鉄と白銅とをアルゴン雰囲気中で高周波溶解した3種類の炭素鋼である。これらの試料の化学分析結果をTable 1に示す。各試料は、熱間圧延および冷間圧延によって2mm厚および0.42mm厚の板とした後、アルゴン雰囲気中で1000°C, 30minオーステナイト処理後炉冷したもので、その組織は初析セメンタイトと層状パーライトから成る。その後圧下率92% 75%および45%の冷間圧延により厚さ0.12mm, 0.16mmおよび0.23mmの薄板とし、これを電子顕微鏡観察用の試料とした。これらの試料をまず100cc過酸化水素水+5cc沸騰水素酸の混液中で化学研磨し、さらに200cc磷酸+100g三酸化クロムの溶液中で電解研磨(Bollmann法)を行なつて薄膜とした。使用した電子顕微鏡は日立Hu-11型であり、加速電圧は100kVであった。

電子顕微鏡観察結果と比較検討するために、炭素鋼中セメンタイトのひずみ状態をX線的に調べた。すなわち1.25%C鋼の炉冷材、45%および92%圧延材におけるセメンタイトの(112)₀, (021)₀, (113)₀および(122)₀回折線強度をポイント・カウンティング法によつて測定した。X線源としてCoターゲットおよびFeフィルタ

ーを用い、電圧、電流およびカウント時間をそれぞれ25kV, 8mAおよび60secとした。

さらにひずみを受けたセメンタイトのキューリー点を高感度磁気天秤を用いて測定した。このため炉冷した1.25%C鋼を45%, 75%および92%冷間圧延して、この圧延板から無歪的に約1mgの小片を得て試料とした。測定の際の磁場強度は飽和磁場3300Oe以上であった。

3. 実験結果および考察

3.1 電子顕微鏡観察

1000°Cから炉冷した0.86%C鋼中セメンタイトの透過電顕組織をPhoto. 1に示す。焼鈍状態鋼中のセメンタイトには、写真のように亜粒界が見られることがある¹¹⁾が、粒内転位などの格子欠陥はほとんど見られず、また電子回折图形(B)におけるセメンタイトからの回折斑点の配列はセメンタイトの[001]₀帯图形とほぼ完全に一致している。炉冷材を75%圧延した0.86%C鋼中セメンタイトの変形組織の代表例をPhoto. 2およびPhoto. 3に示す。Photo. 2から明らかなように、セメンタイト内には圧延によって多数の転位が導入され、セメンタイトが転位の辺りにより塑性変形することがわかる¹⁴⁾。一方、Photo. 3ではセメンタイト内に明りような転位線のコントラストなどは見られないが、微細な等傾角干渉縞あるいはモアレ縞*が複雑に見られることから、セメンタイトが著しく変形していると推察される。事実Photo. 3(B)におけるセメンタイトの回折斑点は接線方向に著しく広がり、かつ各回折斑点は明らかに数個の微小斑点に分裂している。これは、セメンタイト粒が著しい変形を受け、その内部にサブグレインが形成されていることを示している。

さて、Photo. 3(B)のような強く変形されたセメンタイトの電子回折图形を詳細に調べると、正常なセメンタイト(ひずみを受けていないセメンタイト)から得たものに比べて、回折图形全体がかなりゆがんでいること

* 電子回折图形上にフェライトの回折斑点が見られない。したがってこのモアレ縞はフェライトとセメンタイトからの回折線の干渉によるものでない。強いひずみを受けたセメンタイト内には多数のセルが形成されていることが多く¹⁴⁾、これらのセルからの回折線の干渉によってモアレ縞が生じたものと推察される。

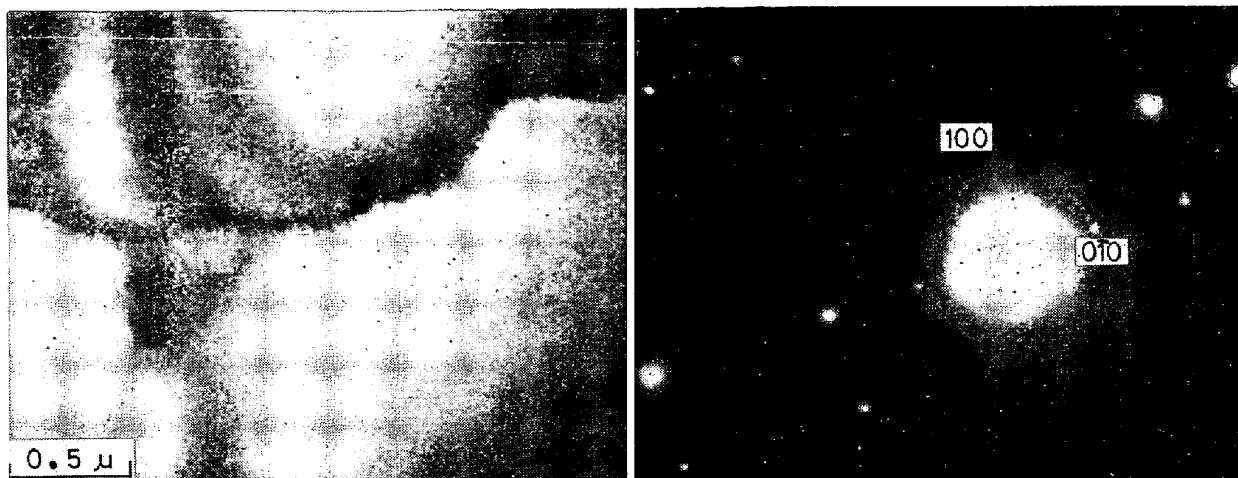


Photo. 1. Transmission electron micrograph of massive cementite in furnace cooled 0.86% C steel. (A) : Bright field image, (B) : Selected area electron diffraction pattern.

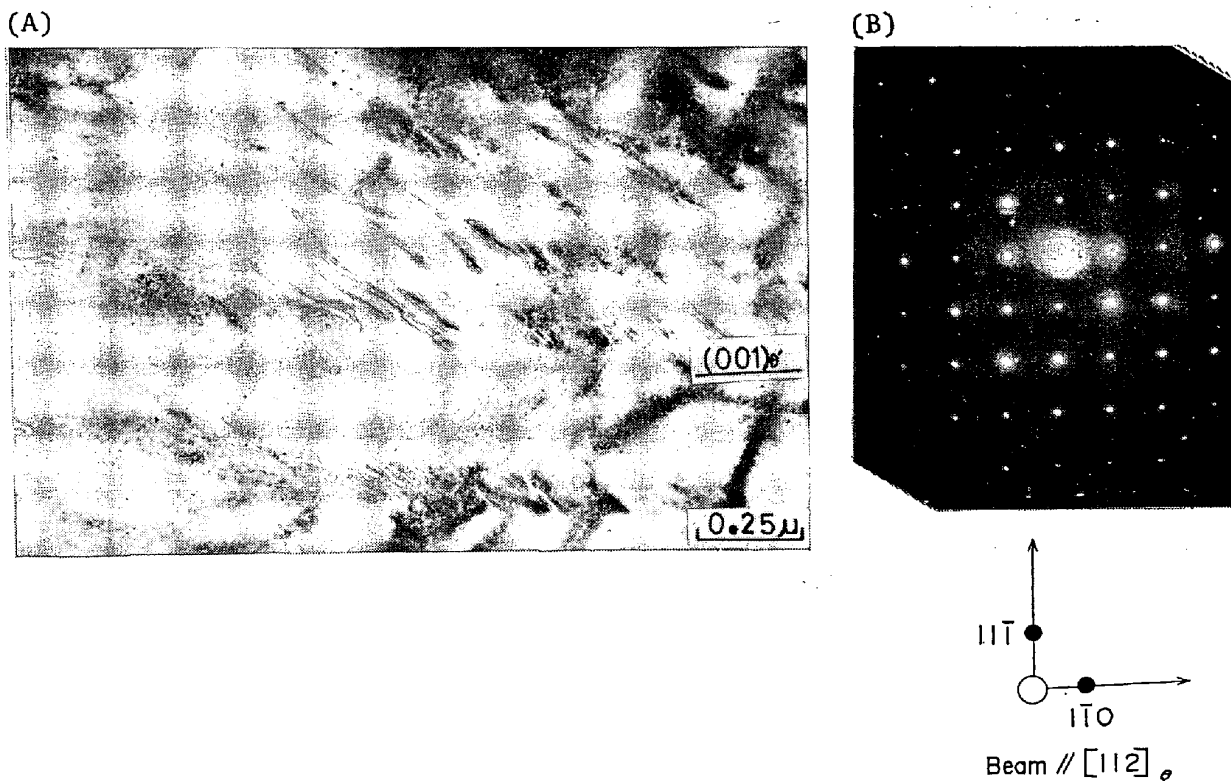


Photo. 2. Dislocation arrangement in cementite in 0.86% C steel cold-rolled to 75% reduction after furnace cooling. (A) : Bright field image, (B) : Selected area electron diffraction pattern.

がわかつた。たとえば、Photo. 3 (B) はセメンタイトの $[01\bar{1}]_s$ 帯图形とほぼ一致する。しかし、(100) および (011) 面に対応する 2 つの回折斑点に注目すると、これらの中心からの距離は正常なセメンタイトのそれとほぼ一致するが、これらが中心に対してなす角度は約 94° であり、正常なセメンタイトにおけるその角度 (90°) と比較して約 4° 異なつている。角度のみを考えるとむし

ろ $[\bar{1}10]_s$ 帯图形¹⁵⁾に近いが、各回折斑点と中心との距離関係から見ると $[\bar{1}10]_s$ 帯图形の場合と全く異なつており、したがつて χ 炭化物としても説明できない。以上のように、電子回折图形が正常なセメンタイトのそれと比較してゆがむ現象は、 $[100]_s$, $[010]_s$, $[001]_s$, $[110]_s$, $[101]_s$ および $[2\bar{1}0]$ などの各晶帶の電子回折においても観察された。ゆがみの程度は本観察の範囲内で $2^\circ \sim 5^\circ$

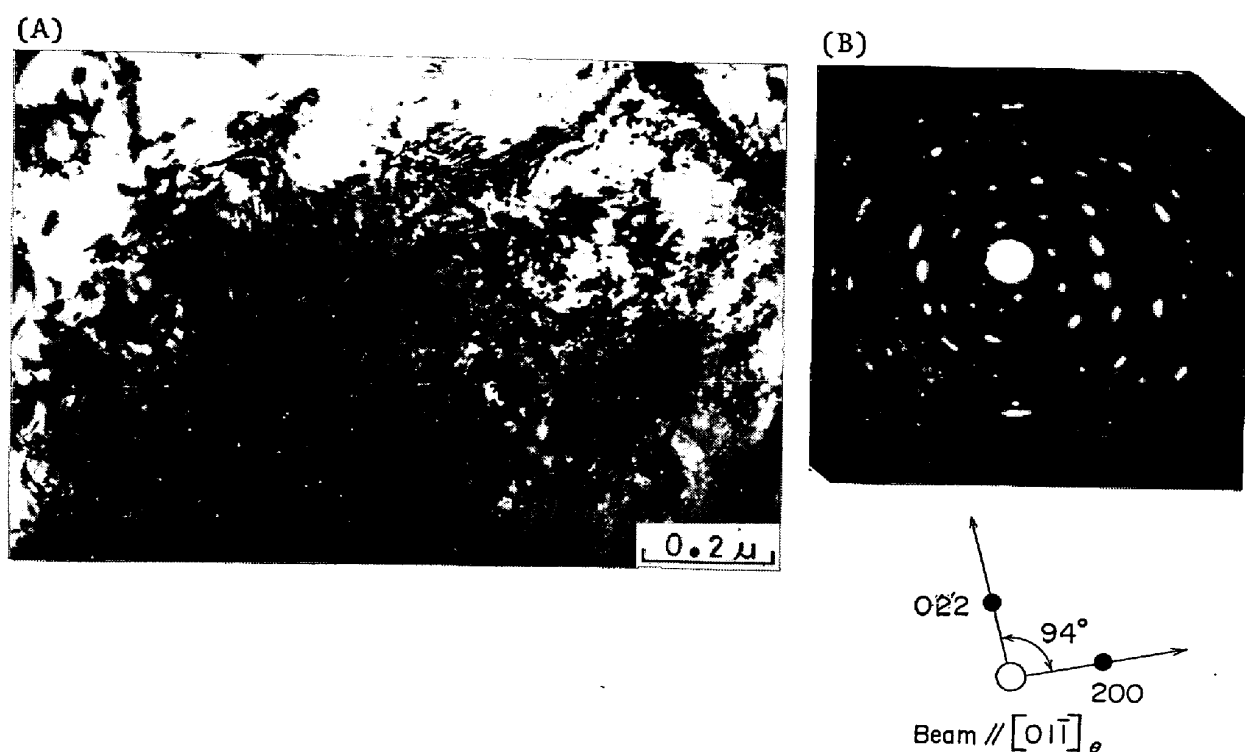


Photo. 3. Moiré fringes and fine extinction contours indicating the heavy deformation of cementite in 0.86%C steel cold-rolled to 75% reduction after furnace cooling. (A) : Bright field image, (B) : Selected area electron diffraction pattern.

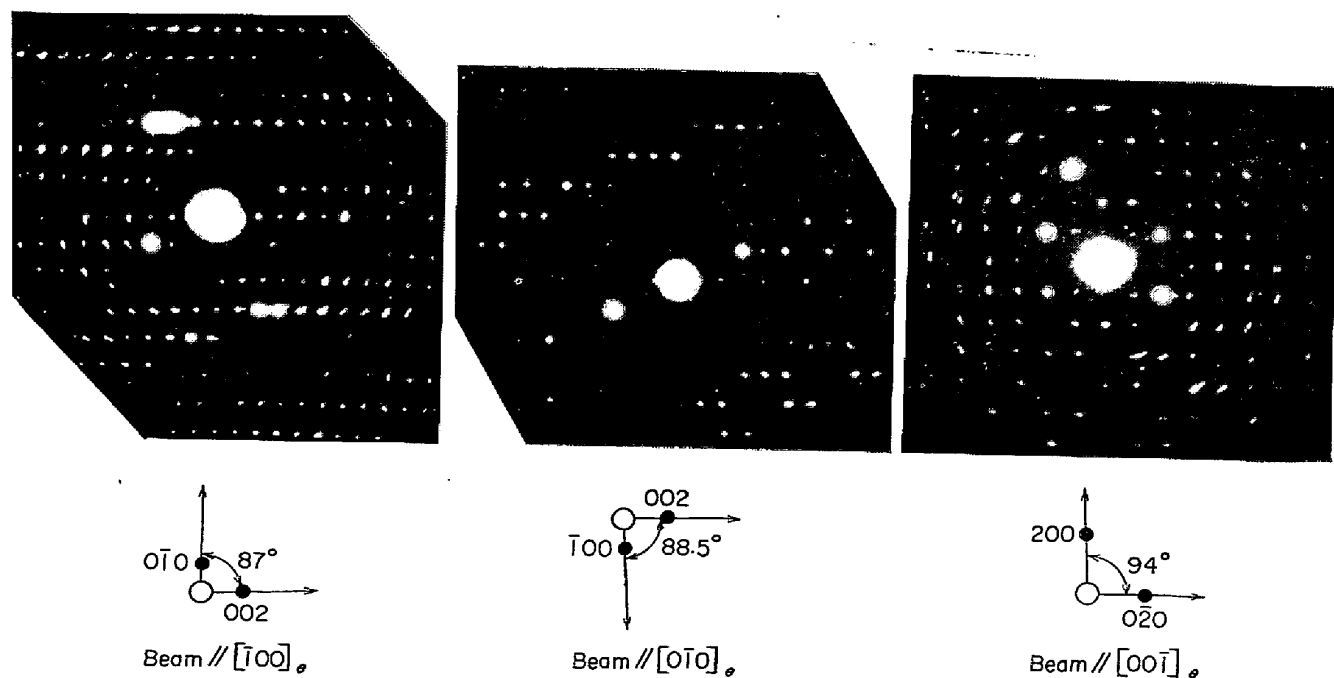


Photo. 4. Electron diffraction patterns of cementites in 0.86%C steel cold-rolled to 75% reduction after furnace cooling. (A) : $[\bar{1}00]_o$ beam direction, (B) : $[0\bar{1}0]_o$ beam direction, (C) : $[00\bar{1}]_o$ beam direction.

であつた。また、このゆがみの結果、 χ 炭化物と同定できるような回折像は、本観察においては一例も見出されなかつた。

Photo. 4 (A), (B)および(C)は、75%圧延した0.86%C鋼中のセメンタイトから得た電子回折图形であり、それぞれ $[\bar{1}00]_o$, $[0\bar{1}0]_o$ および $[00\bar{1}]_o$ が晶帶軸である。これらの回折图形中、 $(100)_o$, $(010)_o$ および $(001)_o$ 面に対応する回折斑点と中心との距離はそれぞれセメンタイトの $[100]_o$, $[010]_o$ および $[001]_o$ 帶图形と一致する。一方 $[0\bar{1}0]_o$ と $[001]_o$, $[\bar{1}00]_o$ と $[001]_o$ および $[100]_o$ と $[010]_o$ とのなす角度は、いずれも斜方晶から期待される値、 90° になつてない。また、それらの回折图形は、 χ 炭化物のいずれの晶帶图形とも一致しなかつた。幾つかの同様な電子回折图形から得たこれらの方方位間の角度はそれぞれ平均約 87° , 約 $88^\circ 30'$ および約 94° であつた。

ところで、一般に入射電子線方向と電子回折图形から求めた晶帶軸とがずれている場合や、レンズの収差などによつても電子回折图形にゆがみが生じる。したがつて上述した回折图形のゆがみが真に意味あるものか否かを知るために、これらの点について検討する必要がある。簡単な幾何学的な考察によれば、斜方晶セメンタイトの $[001]_o$ 方位が電子線方向に対して 10° 傾いている場合、 $[001]_o$ 帶回折图形上における $[100]_o$ と $[010]_o$ との角度のゆがみはたかだか $1^\circ 45'$ 程度である。Photo. 4(c)およびPhoto. 5は、いずれも同一セメンタイトの $[001]_o$ 帶回折图形であるが、回折斑点の配列状況からして、前者においては入射電子線方向と $[001]_o$ 晶帶軸方位とがほぼ完全に一致している。後者はPhoto. 4(c)の状態からセメンタイトを数度傾斜させて得た電子回折图形である。Photo. 4(c)から明らかなように、 $[100]_o$ と $[010]_o$ との間の角度は約 4° ゆがんでおり、またこのゆがみの量はPhoto. 5においてあまり変つていない。このことからも、入射電子線方向と晶帶軸とのずれが回折图形に著しいゆがみを生じさせないことがわかる。レンズ系の収差による回折图形のゆがみは回折角を α とすると α^3 に比例する。HIRSCH¹⁷⁾によれば、アルミニウムの111反射に対しては約 $2.5 \times 10^{-2}\%$ 程度の微量のゆがみが予想される。 $(111)_{Al}$ に対する α は約 $54'$ であるが、たとえば、 $(100)_o$ に対する α は約 $30'$ である。したがつて、本実験で測定した回折图形のゆがみはレンズ系の収差によつても説明不可能である。レンズ系の汚れによる回折图形のゆがみ¹⁷⁾を量的に推測することは困難である。しかし、本実験においては同様な作動状態の下で電子顕微鏡観察を行なつても、明らか

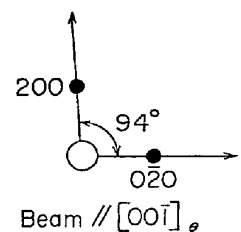


Photo. 5. The electron diffraction pattern same as Photo. 4 (C) tilted by several degrees.

な回折图形のゆがみは、強いひずみを受けたセメンタイトにのみ見出されている。したがつて、本実験で観察した回折图形のゆがみは、レンズ系の汚れによって生じた現象ともみなしづらい。ところで、軸間角が変化すれば、厳密には格子面間隔も変化する筈である。しかし、斜方晶セメンタイトが上述のような軸間角をもつものに至んだ場合でも、その格子面間隔 d_{100} , d_{010} および d_{001} における正常な斜方晶セメンタイトとの差異はそれぞれ0.3%, 0.4%および0.2%程度にすぎず、この程度の差異は電子回折图形上で区別することはできない。

以上述べてきたように、電子回折图形は種々の外的原因によつてゆがみがみられるので、これの解析には慎重な検討が必要であるが、本実験で観察された最大 5° 程度のゆがみは、考えられる主要な外的原因（電子ビーム方向と晶帶軸との傾き、レンズ系の収差や汚れ）によつては説明困難であることが一応示される。したがつて、本実験で観察された回折图形のゆがみは、観察条件に起因した単なる見掛け上のものとは考え難く、セメンタイトに導入されたひずみに起因するものと考えるべきであろう。

つぎに、ひずんだセメンタイトの熱的な安定性を調べるために、圧延した炭素鋼に焼なまし処理を施し、その中のセメンタイトを電子顕微鏡で観察した。Photo. 6は0.86%C鋼を75%圧延後、600°Cで4 hr 焼なました

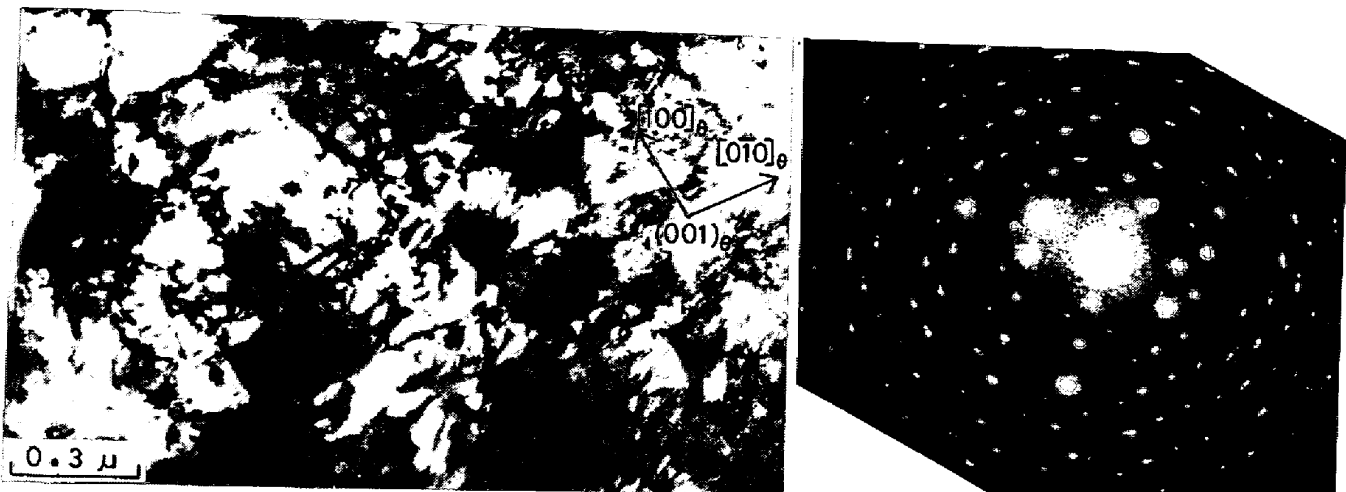


Photo. 6. Residual dislocations and other strain markings of cementite in 0.86% C steel annealed for 4hr at 600°C after 75% cold-rolling.



Photo. 7. Transmission electron micrograph of cementite in 1.25% C steel annealed for 5hr at 700°C after 92% cold-rolling showing the perfect annihilation of defect structures.

時のセメンタイト組織の一例を示す。明視野像(A)にはモアレおよびひずみ模様が見られ、セメンタイトの変形組織にはまだ明らかな回復効果が見られない。また、電子回折图形(B)から明らかに [100]_θ と [010]_θ とのなす角度は約 94° となつておらず、斜方晶セメンタイトにおけるその角度(90°)に比べて約 4° 程度異なる。さらに、一部の回折斑点には接線方向のひろがりが見られる。このように、ひずんだセメンタイトは 600 °C, 5hr の焼なまし処理によつては、まだ完全に正常な斜方晶セメンタイトに戻つていない。つぎに 700 °C, 5hr 焼なました時のセメンタイト組織の一例を Photo. 7 に示す。写真に見られるように、多くのセメンタイト中の内部欠陥はほぼ消滅を完了し、また、電子回折图形に結晶の完全性が高まつてることを示す菊池線が観察される。なお、回折斑点の配列は斜方晶セメンタイトの

[$\bar{1}01$]_θ 帯图形と一致している。このように、700 °C, 5hr 程度の焼なましによつて多くのセメンタイトの欠陥組織はほぼ完全に消滅し、これと共に電子回折图形も斜方晶セメンタイトのそれに戻る。

3.2 磁気分析

すでに述べたように炭素鋼中セメンタイトのキューリー点はセメンタイトがひずみを受けることによつて上昇し、 χ 炭化物のそれに近づくことが知られている⁷⁾⁽⁸⁾⁽¹⁸⁾。Fig. 1 は、冷間圧延した 1.25% C 鋼中セメンタイトのキューリー点の圧延率による変化を調べたものである。炉冷状態でのセメンタイトのキューリー点は 205 °C であるが、45% の冷間圧延によつて 238 °C に上昇し、さらに 73% 圧延によつて 252 °C に上昇している。このようにセメンタイトのキューリー点は圧延率が増すにつれて高温側に移行し、73% 圧延では χ 炭化物のキューリー点は 252 °C に上昇する。

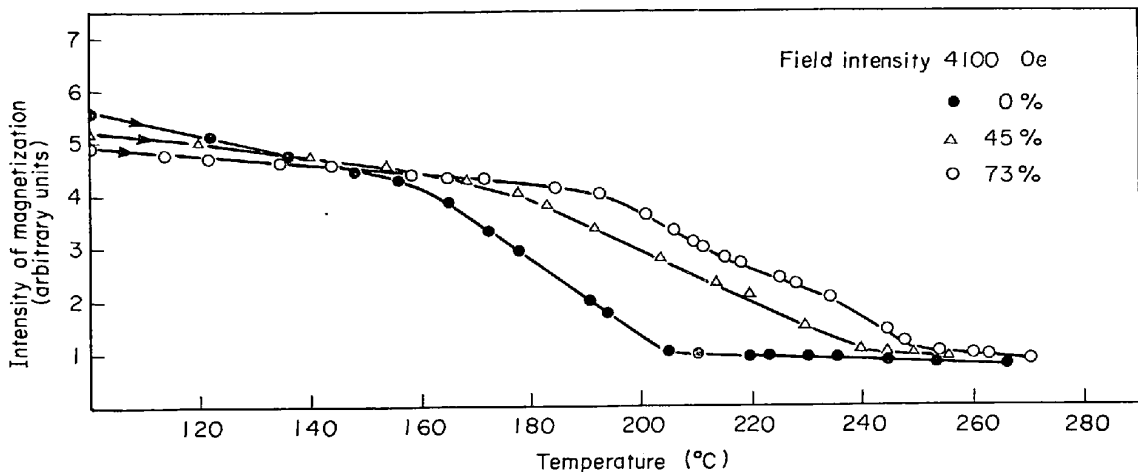


Fig. 1. Thermomagnetic curves showing the change in curie point of cementite with cold-rolling.

リーポイント¹⁹⁾とほぼ等しくなる。この結果は、焼戻し炭素鋼中セメンタイトの変形に関する WILSON の実験結果⁷⁾⁸⁾および今井らの結果²⁰⁾²¹⁾と傾向においてよく一致している。しかし、以上のような磁気分析結果は、73%圧延した鋼中セメンタイトが完全に χ 炭化物に変化していることを必ずしも意味するものではない。もしセメンタイトの他に χ 炭化物が出来ていれば**、磁化曲線に 2 段 210°C および 250°C の変化があつてもよい筈である。しかしそのような変化は本実験および WILSON の実験⁷⁾⁸⁾においても見出されていない。したがつて、圧延ひずみを受けたセメンタイトのキューリー点が圧延率とともに上昇し、73% の圧延によつてたまたま χ 炭化物のそれと一致したとも解釈される。前述の電子顕微鏡的な観察結果と考え合せると、圧延率とともにキューリー点が変化する原因は χ 炭化物の形成によるものではないと推察される。

上述のように冷間加工によつて炭素鋼中のセメンタイトのキューリー点は上昇するがその後の焼鈍によるキューリー点の変化を Fig. 2 に示す。図は炉冷した 1.25% C 鋼を 92% 圧延後 300~700°C の各温度で 5 hr 焼なました際のセメンタイトのキューリー点の変化を調べたものである。セメンタイトのキューリー点は、焼鈍温度が上昇するにつれて急速に降下し、500°C 以上ではその降下の割合は低くなつてゐる。しかし、700°C 焼鈍の場合 (225°C) でもその正常値約 210°C⁴⁾²²⁾²³⁾ よりは高い***。

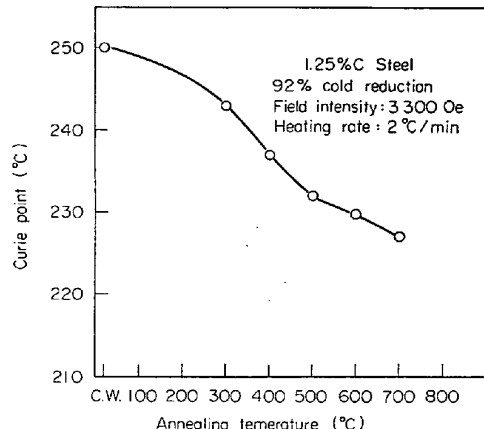


Fig. 2. Curie point of cementite in 1.25% C steel annealed for 5hr at various temperatures after 92% cold-rolling.

3.3 X線回折

上述の電子顕微鏡観察によつて明らかにされたように強度に冷間圧延した鋼中セメンタイトはそれが受けたひずみによつてその電子回折图形を明らかにゆがめる。しかし、その観察には薄膜を使用しているために、実物状鋼中セメンタイトの真の様相をとらえているか否かに疑問が残る。そこで本実験ではさらに、圧延した鋼中のセメンタイトについて X 線回折による観察を試みた。

Fig. 3(A)(B) は炉冷および 92% 圧延した 1.25% C 鋼中のセメンタイトの $(112)_\theta$, $(021)_\theta$, $(113)_\theta$ および $(122)_\theta$ 回折線プロファイルをポイント・カウンティング法にて測定した結果である。92% 圧延材中のセメンタイト回折線には、炉冷材と比較して最大強度の低下および幅拡がりが見られる。このような X 線的観察結果は圧延した炭素鋼中セメンタイト内にひずみが蓄積され、その結果セメンタイト粒が多数の微細ブロックに分裂していることを示唆している。これは先の電子顕微鏡によ

** 電子顕微鏡観察によれば、セメンタイトの変形度は同一圧延率の鋼中にいても著しいバラツキを持つており、75% 圧延した鋼中にも欠陥をほとんど含まないセメンタイトが多く見られる。したがつて圧延によつて鋼中のすべてのセメンタイトが χ 炭化物に変化する可能性はないと考えられる。

*** 先の電子顕微鏡観察によれば、700°C の焼鈍によつて多くのセメンタイトはほぼ回復を完了するが、全体的にはまだ完全回復に至つてないものも存在することがわかる。

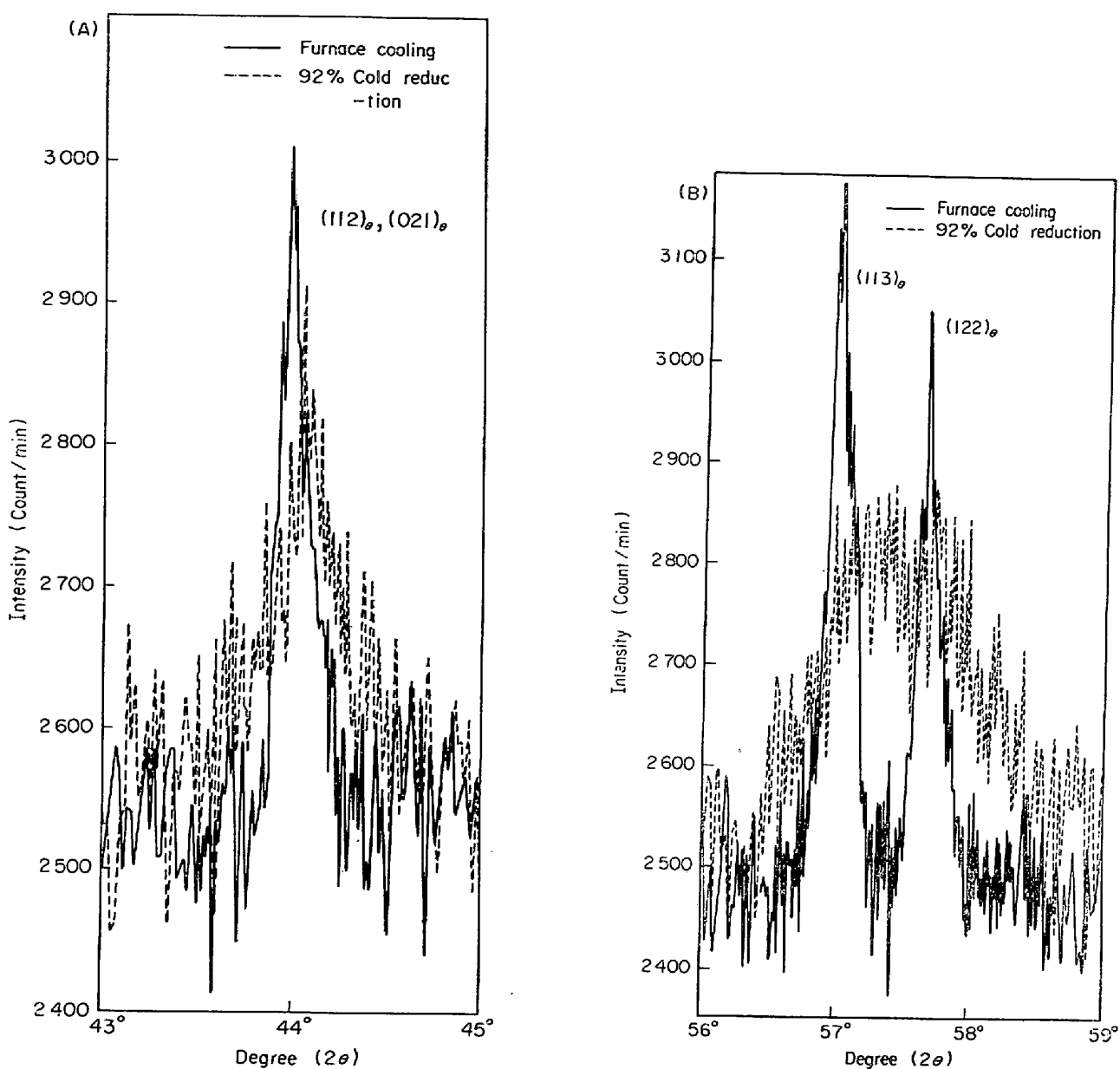


Fig. 3. X-ray diffraction line profile for cementites in annealed or 92% cold-rolled 1.25%C steel : (A) $(112)_\theta$ and $(021)_\theta$, (B) $(113)_\theta$ and $(122)_\theta$.

る観察結果とよく一致している。また92%圧延材中セメントタイトの回折線の強度最大位置(ピーク位置)が炉冷材のそれよりも 2θ の値で約11'高角度側にずれていることが注目される。これは、圧延した炭素鋼中のセメントタイトが確かにある種の均一ひずみを受けていることを示唆するものである。Fig. 3の測定角度範囲近傍に回折ピークをもつ χ -炭化物の格子面は、 $(020)_\chi$, $(221)_\chi$, $(130)_\chi$ および $(312)_\chi$ であり、それらの 2θ の値はそれぞれ $46^{\circ}4'$, $55^{\circ}26'$, $55^{\circ}32'$, $59^{\circ}7'$ である。本実験のX線回折においては、上記のような χ -炭化物のピークは見られないし、先のセメントタイトのピーク位置のずれ

も χ -炭化物ピークとしては説明不可能である。したがって、本X線観察結果からも圧延ひずみを受けたセメントタイトと χ とは同一のものでないと考えることができる。

以上のような回折線幅広がりおよびピーク位置のずれの焼なましによる変化をそれぞれFig. 4およびFig. 5に示す。焼なまし時間は5 hrである。図から明らかのように、 400°C 以上の焼なましで積分半価幅の減少およびピーク位置の低角度側への移行が明らかに認められ、 700°C の焼なましによって回復が著しく進行している。これは先の電子顕微鏡およびX線観察結果と一致する。

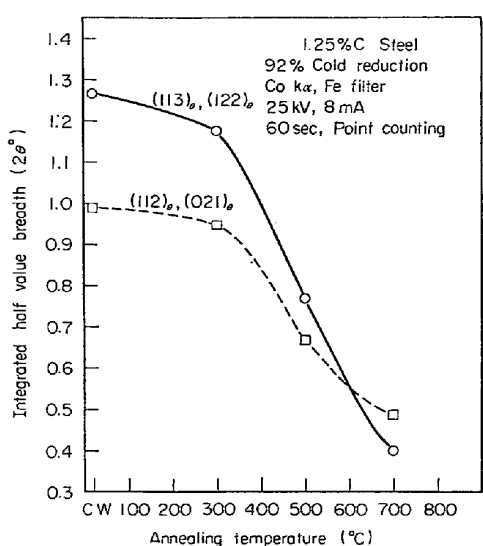


Fig. 4. Change in the integrated half value breadth of cementite in 1.25% C steel with annealing for 5 hr at various temperatures after 92% cold-rolling

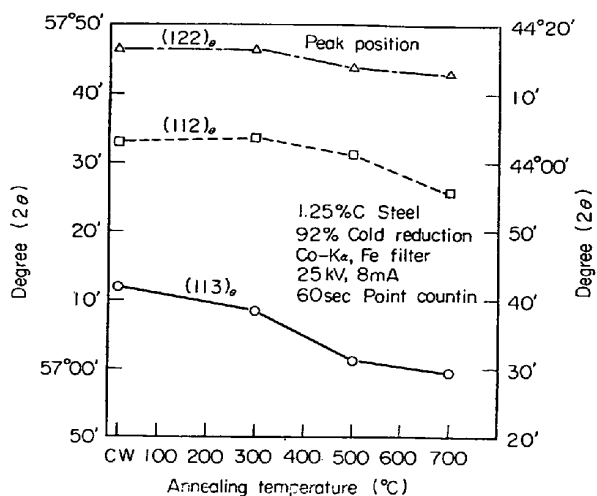


Fig. 5. Change in the peak position of diffraction line with annealing for 5hr at various temperatures after 92% cold-rolling.

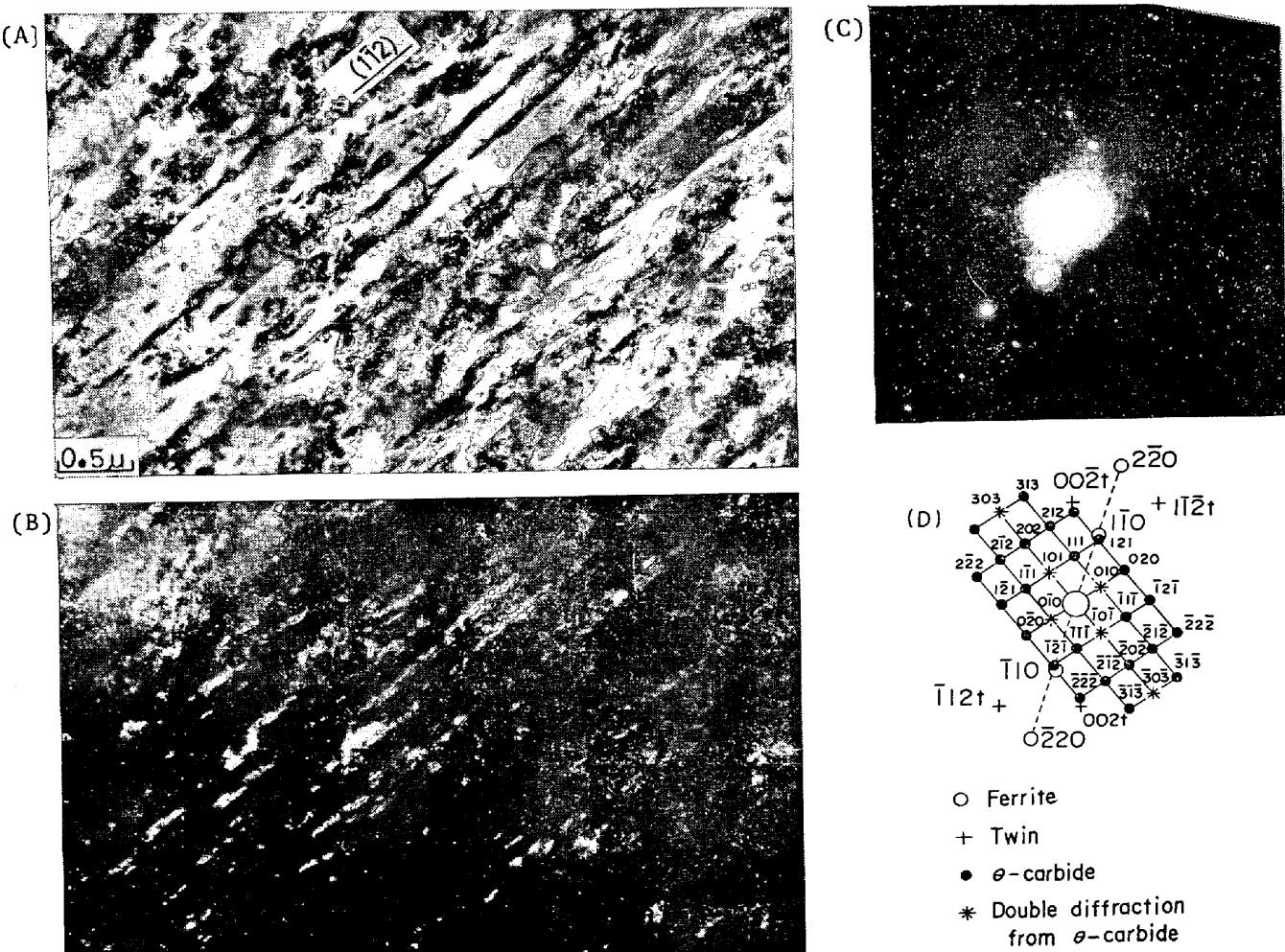


Photo. 8. The θ -carbide in the 0.48% C steel tempered for 5 hr at 400°C. (A) The bright field image, (B) the dark field image using the $(\bar{2}\bar{1}\bar{2})$ θ -carbide reflection, (C) the selected area electron diffraction pattern and (D) its schematic representation.

3.4 焼戻し過程における析出初期セメントタイトと χ -炭化物との関係

これまで述べてきたように、冷間圧延した炭素鋼中セメントタイトの電子顕微鏡観察によつて、大きなひずみを受けたセメントタイトはその電子回折图形をゆがめるが、 χ -炭化物と同定できるような単斜晶格子にはなつていないことが示唆された。このことは、同じ試料のX線回折によつても支持され、また磁気測定結果とも矛盾しない。ところで、炭素鋼の焼戻し過程における析出初期セメントタイトは、フェライト地からの拘束によつて大きなひずみを受けると推定され、これによつて析出初期セメントタイトがあたかも単斜晶 χ -炭化物のような結晶構造になるとする考えがある。

0.48%C鋼を焼入れ後、400°C、5hr焼戻した時の双晶領域から得た電子回折像をPhoto. 8に示す。写真に現われたフェライト、双晶および炭化物からの斑点のうち炭化物からの回折斑点の配列は $[10\bar{1}]_o$ 帶图形とよく似ているが、すでに3.1で述べたと同様に回折图形全体がゆがんでいる。その結果 $[010]_o$ と $[10\bar{1}]_o$ とのなす角度は、正常な $[10\bar{1}]_o$ 帶图形におけるように90°ではなく、約94°となつてゐる。このように焼戻し過程に現われるセメントタイトの中にも、冷間圧延した鋼中に見られたと同様なものが含まれており、析出初期セメントタイトが母相から強い拘束を受けることが推察される。DÜNNERおよびMÜLLER²⁴⁾は焼戻した炭素鋼の磁気測定を詳細に行なつて、 χ -炭化物およびセメントタイトとは異なつた炭化物を見出し、これをstrained cementite type phaseと呼んでいる。本実験において見出されたゆがんだ回折图形を与えるセメントタイトと、DÜNNERらの見出したstrained cementite type phaseとはおそらく同一のものであろうと推察される。

以上のように、焼鈍状態の高炭素鋼に92%程度の大きな圧延ひずみを与えて、その中のセメントタイトは著しいひずみを受けるが、DEYCH¹⁰⁾らが報告しているような単斜晶 χ -炭化物¹⁵⁾は観察されなかつた。これは本実験における磁気測定およびX線観察結果からも支持される。また、焼戻し過程における析出初期セメントタイトの中にも著しいひずみを受けているとみなされるものが観察された。しかしながらこの種の炭化物と焼戻し過程に観察される単斜晶 χ -炭化物⁴⁾⁵⁾とは電子回折图形上で明確に区別されうるものであり、ゆがんだ回折图形を与えるひずんだセメントタイトと χ -炭化物とを同一視することはできない。本実験のみからは断定的な結論を下すことを控えるが、以上のような事実から、焼戻し過程における析出初期セメントタイトと χ -炭化物とは一応別個のもの

であると考えることができる。この点をさらに明確にするためには、析出初期セメントタイトがフェライト地から受けるひずみの性質やその大きさなどを明らかにすることも重要であろう。

4. 総括

ひずみを受けたセメントタイトと χ -炭化物との関係を検討するために圧延した0.86%~1.25%C鋼に含まれるセメントタイトの内部欠陥組織やその結晶構造を電子顕微鏡観察、磁気測定およびX線回折によつて調べ、以下の結果を得た。

- 1) 冷間圧延した炭素鋼中セメントタイト内には転位をはじめとする種々の欠陥が観察される。また、特に著しい変形を受けたセメントタイトには平均間隔約100Åのモアレ縞や微細なひずみ模様が観察される。
- 2) 大きな圧延ひずみを受け、モアレ縞や微細なひずみ模様が多数見られるセメントタイトから得た電子回折图形は、ひずみを受けないセメントタイトから得た正常な電子回折图形と比べ、全体的に明らかにゆがんでいる。しかし単斜晶 χ -炭化物と同定できるような回折图形は得られなかつた。
- 3) セメントタイト中に見られる内部変形組織、電子回折图形のゆがみおよび回折斑点の接線方向の拡がりは、700°C、5hrの焼なまし処理によつて大部分回復する。
- 4) 圧延率の増加に伴つて鋼中セメントタイトのキューリー点は上昇する。また圧延した鋼中セメントタイトのX線回折においては、回折線のピーク位置の変化、最大強度の低下および幅拡がりなどが認められる。これらの原因は、 χ -炭化物の形成によるものではなく、ひずみを受けたセメントタイトによると考えて矛盾しない。
- 5) 焼戻し炭素鋼中にも正常な斜方晶セメントタイトの他に、ゆがんだ回折图形を与えるひずんだセメントタイトが観察される。

以上のような観察から、フェライト地から拘束され、ひずみを受けている析出初期セメントタイトと χ -炭化物とを同一視することは妥当でないと結論された。

文獻

- 1) H. INO, T. MORIYA, E. FUJITA and Y. MAEDA: J. Phys. Soc. Japan, 22(1967), p. 346
- 2) Z. MATHALONE, M. RON, J. PIPMAN and S. NIEDZWIEDY: J. Appl. Phys., 42(1971), p. 687
- 3) Y. OHMORI and S. SUGISAWA: Trans. JIM, 12(1971), p. 170
- 4) 今井、小倉、井上: 鉄と鋼, 58(1972), p. 726
Y. IMAI, T. OGURA and A. INOUYE: Trans. ISIJ, 13(1973), p. 183

- 5) 今井, 小倉, 井上: 鉄と鋼, 59(1973), p. 261
 Y. Imai, T. Ogura and A. Inoue: Trans. ISIJ, 15(1975), p. 79
- 6) K. H. JACK: JISI, 169(1951), p. 26
- 7) D. V. WILSON: Nature, 167(1951), p. 809
- 8) D. V. WILSON: Trans. ASM, 47(1955), p. 321
- 9) 西山: 製鉄研究, 273(1971), p. 1
- 10) I. C. DEYCH and B. A. APAYEV: Fiz. metal. metalloved., 29(1970), p. 829
- 11) A. KORÉEDA and K. SHIMIZU: Phil. Mag., 17(1968), p. 1083
- 12) A. S. KEH: Acta Met., 11(1963), p. 1101
- 13) K. MAURER and D. H. WARRINGTON: Phil. Mag., 15(1967), p. 321
- 14) 井上, 小倉, 増本: 日本金属学会誌, 37(1973), p. 875
- 15) M. J. DUGGIN: Trans. AIME, 242(1968), p. 1091
- 16) E. J. FASISKA and G. A. JEFFREY: Acta Cryst., 19(1965), p. 463
- 17) P. B. HIRSCH, A. HOWIE, R. B. NICHOLSON and D. W. PASLEY: Electron Microscopy of Thin Crystals, (1965), p. 18
- 18) B. A. APAYEV: Fiz. metal. metalloved., 12(1961), p. 409
- 19) L. J. E. HOFER, E. M. COHN and W. C. PEEBLES: J. Amer. Chem. Soc., 71(1949), p. 189
- 20) 今井, 村上: 日本金属学会第 53 回講演会(1963, 秋)
- 21) 今井, 富沢: 日本金属学会第 63 回講演会(1968, 秋)
- 22) J. CRANGLE and W. SUCKSMITH: JISI, 168(1951), p. 141
- 23) M. OKADA and Y. ARATA: Tech. Rep. Osaka Univ., 6(1956), p. 145
- 24) P. H. DÜNNER and S. MÜLLER: Acta Met., 13(1965), p. 25